# ⑩ 公 開 特 許 公 報 (A) 平4-190202

⑤Int. Cl. 5

識別記号

庁内整理番号

43公開 平成4年(1992)7月8日

G 02 B 6/12 C 08 F 34/02

M MNW

7036-2K 7242-4 J

審査請求 未請求 請求項の数 3 (全6頁)

60発明の名称

ベルフルオロ有機高分子材料を用いた光導波路

(21)特 願 平2-317913

②出 願 平 2(1990)11月26日

@発 明 者 妄 藤

值 治

東京都千代田区内幸町1丁目1番6号 日本電信電話株式

会社内

72)発 明 者

二三男 山本

東京都千代田区内幸町1丁目1番6号 日本電信電話株式

会社内

@発 明 者 佐々木

重 邦 東京都千代田区内幸町1丁目1番6号 日本電信電話株式

会补内

(72)発 明 者

松 浦 徹 東京都千代田区内幸町1丁目1番6号 日本電信電話株式

会社内

勿出 願 人

日本電信電話株式会社

東京都千代田区内幸町1丁目1番6号

個代 理 人 弁理士 中本 外2名

先

1. 発明の名称

ペルフルオロ有機高分子材料を用いた光導 波 路

- 2. 特許請求の範囲
  - 分 子 構 造 中 に 炭 素 ― 炭 素 ― 重 結 合 と 炭 素 ― 酸素一重結合からなる環状構造を有し、かつ 炭素と一価元素の化学結合として炭素-フッ 素結合のみを含む非晶質有機高分子材料を主 構成要素とすることを特徴とするペルフルオ 口有機高分子材料を用いた光導波路。
  - 下記構造式 1:

$$\begin{array}{c|c}
 & CF_2 - CF \\
\hline
 & CF_2 - CF
\end{array}$$

$$\begin{array}{c|c}
 & CF_2 \\
\hline
 & CF_2
\end{array}$$

で表される繰返し単位を有する有機高分子材 料を主構成要素とすることを特徴とする請求 項1に記載のペルフルオロ有機高分子材料を 用いた光導波路。

#### 下記構造式Ⅱ:

で表される繰返し単位を有する有機高分子材 料を主構成要素とすることを特徴とする請求 項1に記載のペルフルオロ有機高分子材料を 用いた光導波路。

3. 発明の詳細な説明

[産業上の利用分野]

本発明は光導波路、特に光電子集積回路(〇 EIC)における回路部品として使用可能なプ ラスチック光導波路に関する。

〔従来の技術〕

有機高分子材料(プラスチック)は、無機系 の材料に比べて軽量であり、耐衝撃性、加工性 に優れ、取扱いが容易であるなどの特長を有し ているため、これまでも光ファイバーや光ディ

スク用基板、光学用レンズなど様々な光学用途に用いられてきた。中でもポリメチルメタクリレート(P M M A )やポリスチレン(P S )のように可視域(波長 = 0.4 ~ 0.8 μm)での透明性の高いものがプラスチック光学材料として主に用いられてきた。

一方、石英系低損失光ファイバーの開発による光通信システムの実用化に伴い、種々の光通信用部品の開発が望まれている。またこれらの光部品を高密度に実装する光配線技術、特に光導波路技術の確立が望まれている。

プラスチックをOEICにおける光導波路など、近赤外域(0.8~2.0μm)での光学材料として用いる場合、無機系の材料と比較してまず問題となるのは大きな光損失である。プラスチックにおける損失原因には大きく分けて光の散乱と光の吸収の2つがあるが、光通信に用いられる波長が今後、長波長域へ移る(0.85μm から1.3μm ~1.65μm へ)に従って収後者の原因つまり分子構造に本質的な振動吸収

による損失が支配的となり、プラスチックの導 光特性に大きな制約をもたらすものと考えられ ている。特にPMMAやPSに代表される従来 のプラスチックは可視域において高い導光特性 を示すものの、近赤外域では大きな光透過損失 (1 dB/cm以上)を引起こす。これは分子鎖内 のアルキル基やフェニル基の炭素-水素結合( C-H結合)の高調波がこの波長域に存在する ためであるが、C-H結合の基本振動が元々低 波長側にありそれらの高調波の吸収強度が次数 が高くなっても減衰しにくいことが、大きな光 損失の主たる原因となっている。このC-H結 合に起因する高調波吸収を小さくし、かつ吸収 波長をより長波長側ヘシフトさせるために、分 子鎖内の水素を重水素(D)あるいはフッ素( F) で置換することが提案されており、PMM AやPS中の水素を重水素あるいはフッ素で置 換した材料について既に検討がなされている〔 例えば戒能俊邦、アプライド フィジクス レ ターズ (Appl. Phys. Lett.) 第48巻、第757

頁(1986年)参照〕。これまでの研究によりこれらのブラスチックは、近赤外域において良好な導光特性を示すことが明らかにされており、例えばPSのフッ素化と重水素化によって0.04dB/cm以下の低損失化が達成されている。

[発明が解決しようとする課題]

すなわちブラスチックを近赤外域でのOEIC用光導波路に適用すに当っては、C-H結合の存在に基づく大きな光損失と吸湿による光損失の時間的増大という問題があった。本発明はこのような現状にかんがみてなされたものでまけるのような現状にかんがみてなされたものでまける。 じ少なく、吸湿性の低いブラスチック光導波路を提供することにある。

[課題を解決するための手段]

本発明を概説すれば、本発明はベルフルオロ有機高分子材料を用いた光導波路に関する発明であって、分子構造中に炭素一炭素一重結合と炭素一酸素一重結合からなる環状構造を有し、かつ炭素と一価元素の化学結合として炭素ーフッ素結合のみを含む非晶質有機高分子材料を主構成要素とすることを特徴とする。

本発明はペルフルオロ有機高分子材料を用いた光導波路に関する発明であって、分子構造中に炭素と一価元素の化学結合として炭素ーフッ素結合のみを含む非晶質プラスチックを光導波

路のコア層、クラッド層のいずれか又は両方に 用いることを特徴とする。

またフッ素原子は高いはっ水性をもっているため、一定以上のフッ素を含有するプラスチックは非常に低い吸湿率を示すことが知られている。そこで分子構造中の水素をフッ素に置換することにより吸湿率を下げ、近赤外域における導光特性の経時的な変化を非常に低く抑えることができると考えられる。

すなわち、アルキル基等の炭素に結合するす

べての1価元素をフッ素とすることによって、 最大の光損失原因であるCーH結合に基づく振動吸収と吸湿による導光特性の経時変化の双方を解決することができる。

更に、プラスチックの分子構造における対称性を無くし、非晶性の高いものとすることとができる。本発明者らは、種々のペルフルオプラスチックについてその結晶性の段を検討した。 を無くのものものものものができる。本発明者らは、種々のペルフルオプラスチックについてその結晶性の段素一酸状態を有りた。 重結合からなる環状構造を有するが非常に低いことを見出した。

ただし、本発明の光導波路に用いる含フッ素プラスチックとしては、分子内にCーH結合を持たず炭素と一価元素の化学結合として炭素ーフッ素結合のみを含む非晶質プラスチックであればどのようなものでも使用することができる。

以下、本発明のプラスチック光導波路につい

てより詳細に説明する。

本発明の光導波路の構造は、一般に製造されているすべての光導波路と同じでよく、例を記してまる。の光導と同じでよくが型、サッジ型、レンズ型、埋め込み型等が可能である。実施例で示したけり、が型の製造方法については、特願平2-110500500日にポリイミドの製造法は特願平1-201170号明細書に記載されている。

本発明で使用する非晶質有機高分子材料の例 としては、下記構造式 I 又は II:

$$\begin{array}{c|c}
 & CF_2 - CF & CF \\
\hline
 & O - CF_2
\end{array}$$

で表される繰返し単位を有する有機高分子材料が挙げられる。

#### 〔実施例〕

以下、本発明を実施例により更に具体的に説明するが、本発明はこれら実施例に限定されない。

なお下記例中、光導波路の光透過損失の波長依存性 (スペクトル) は白色光源を用いたスペクトルアナライザーにより 測定し、また λ = 1.3 μm における光透過損失値はブリズムを介してフィルムに入射した光を再度プリズムで取出す方法により算出した。

# 実施例1

式 I の 繰返 し構造をもつポリペルフルオロアリルビニルエーテルをペルフルオロ有機溶剤 (CT-solv 180、旭硝子社製)に濃度が10%となるように溶解し、シリコン板上にスピンコートして、窒素雰囲気下40℃で1時間、100℃で1時間、180℃で1時間加熱し、溶媒を完全に除去した。

この試料全面にエッチング用マスクとしてア ルミニウムを蒸着した。次いでポジ型レジスト の塗布、プリベーク、露光、現像、ポストペー クを行い、アルミニウムをウェットエッチング によりパターンニングした。更にこのアルミニ ウムをマスクとして、ポリペルフルオロアリル ピニルエーテルのフィルムをドライエッチング によりパターンニングした。最後に残ったアル ミニウムマスクをウェットエッチングにより除 去し、幅 5 0 μm 、高さ 1 0 μm 、長さ 5 cm の リッジ型光導波路を得た。この光導波路の光透 過損失の波長依存性を 0.8 μ m ~ 1.7 μ m の範 囲で測定したところ、第1図に示すとおりすべ ての波長域において光を吸収するピークは現れ なかった。なお、第1図において、横軸は波長 (µm)、縦軸は吸光度を示す。

また 1. 3 μm における光透過損失率は 0. 1 dB / cm以下であり、光通信に使われる予定の 1. 3、 1. 5 5、 1. 6 5 の 3 波長帯すべてにおいて十分 に低い光損失値を示している。またこのポリベ ルフルオロアリルピニルエーテルのフィルムを60℃の水中に1週間浸漬した後の重量変化は観測されず、このフィルムから作製した光導波路の光透過損失の波長依存性にも全く変化が見られなかった。

#### 実施例2

実施例1におけるポリベルフルオロアリルビニルエーテルの代りに、式IIの繰返し構造をもつベルフルオロ高分子(ビスー2, 2ートリフルオロメチルー4, 5ージフルオロー1, 3ージオキソールとテトラフルオロエチレンとの共重合体)を用いて、実施例1と同様に幅50 μm、高さ10μm、長さ5cmのリッジ型光導
波路を得た。

この光導波路の光透過損失の波長依存性を
0.8μm~1.7μmの範囲で測定したところ、
実施例1と同様すべての波長域において光を吸収するピークは現われなかった。またこのフィルムを60℃の水中に1週間浸漬した後の重量変化は観測されず、このフィルムから作製した

光導波路の光透過損失の波長依存性にも全く変化が見られなかった。

### 比較例1

以下の構造をもつポリカーポネート

$$\begin{array}{c|c} & & & \\ &$$

をジメチルアセトアミドに濃度が10%となる ように溶解し、シリコン板上にスピンコートした。次いで窒素雰囲気下70℃で3時間加熱し、溶媒を完全に除去しフィルムを得た。このフィルムに対し実施例1と同様の方法で幅50μm、高さ10μm、長さ3cmのリッジ型光準波路を作製し、光透過損失の波長依存性を0.8μm~1.7μmの範囲で測定した。その結果を、第2 図に波長(μm、横軸)と吸光度(縦軸)との関係のグラフとして示す。

また 1.3 μm における光透過損失率は 0.4 dB

一 cmであった。この材料は既に可視光域での、第2図に示すように1.1~1.2、1.4、1.65μm の各波長においてそれぞれCーH結合の伸縮振動の高調波、CーH結合の伸縮振動である音が現れて一般結合を通過である。 光通信に使用される予定の1.65μm はCーH結合の2次高調波吸収に完全に光過にであり、また1.3μm 、1.55μm 帯は光のでおり、また1.3μm 、1.55μm 帯は光ののないが比較的少ない「窓」に位置している。ため、光損失値が十分小さいとは言えない。

# 比較例 2

2、2-(3、4-ジカルボキシフェニル)
-ヘキサフルオロプロバン二無水物と2、2′
-ピス(トリフルオロメチル)-4、4′-ジアミノピフェニルから合成されるポリアミド酸のN-メチル-2-ピロリドン溶液をシリコン板上にスピンコートし、窒素雰囲気下70℃で2時間、160℃で1時間、250℃で30分

間、更に350℃で1時間加熱して完全にイミド化を行い、以下の構造で示されるポリイミドのフィルムを得た。

このポリイミドフィルムに対し、実施例 1 と同様の方法で幅 5 0 μm、高さ 1 0 μm、長さ 5 cmのリッジ型光導波路を作製し、0.8 μm~1.7 μmにおいて測定した吸収スペクトルを、第 3 図に波長(μm、横軸)と吸光度(縦軸)との関係のグラフとして示す。

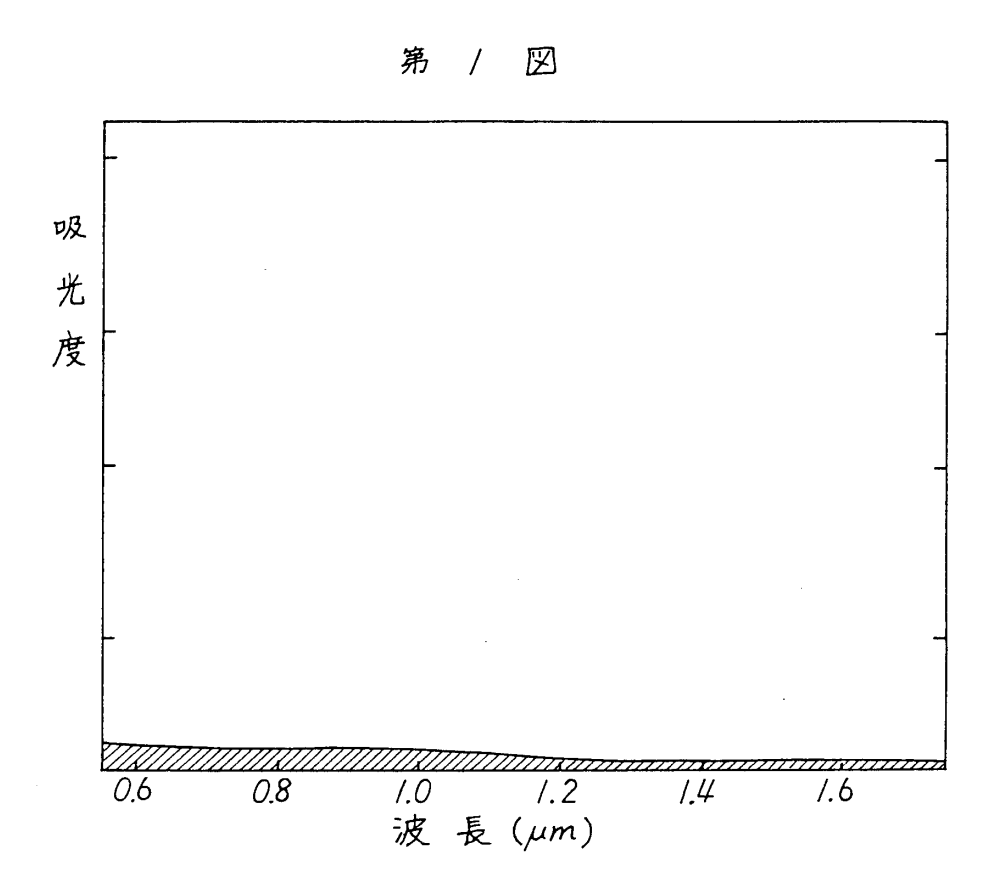
また 1. 3 μm における光透過損失率は 0. 3 dB / cmであった。この材料は従来のポリイミドに 比べて近赤外域での光透過率が高いポリイミド であり、光学材料として有望であるが、第 3 図 に示すように 1. 1、1. 4、1. 6 5 μm の各波長 においてそれぞれ C - H 結合の伸縮振動の高調 波、 C ー H 結合の伸縮振動高調波と C ー H 結合変角振動の結合音、そしてフィルム中にわずかに含まれた水分に起因する酸素 - 水素結合 ( O ー H 結合) の高調波が現れている。特に 1.65 μm 帯は C ー H 結合の 2 次高調波吸収に重なっており、この波長域における光損失値は 5 dB/cm程度とかなり大きい。

## 〔発明の効果〕

以上、詳細に説明したように、分子構造中の炭素と一価元素の化学結合として炭素ーフッ素結合のみを含む非晶質プラスチックを用いて作製した光導波路は、近赤外域に光の吸収ピークが存在せず、また非常に低い吸湿率を有している。本発明によれば、近赤外域の光透過性と耐吸湿性に共に優れた新規の光導波路が提供される。

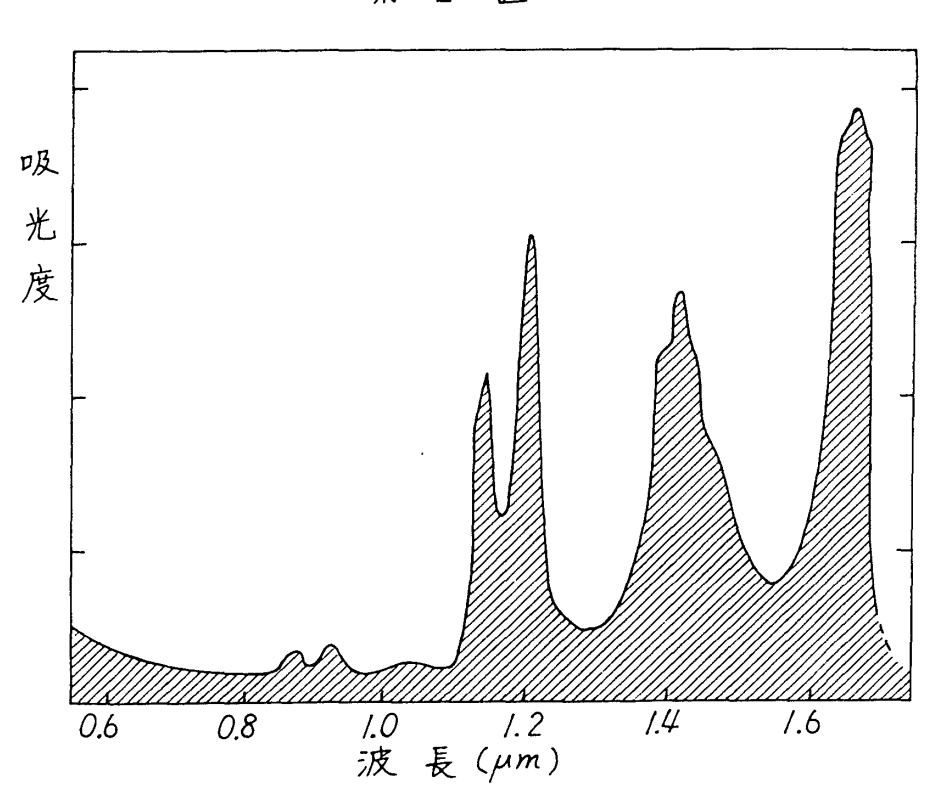
#### 4. 図面の簡単な説明

第1図は本発明の光導波路の1例、第2図及 び第3図は従来例の光導波路における、それぞ れ光透過損失の波長依存性を示すグラフである。



-11-

第 2 図



第 3 図

